

УДК 539.184.28

КВАДРУПОЛЬНОЕ ЭКСИТОННОЕ ПОГЛОЩЕНИЕ И СИММЕТРИЯ УРОВНЕЙ ЭНЕРГИИ В SnO_2

B. T. Агекян

Исследован при $T=4.2^\circ\text{K}$ спектр экситонного поглощения монокристаллов SnO_2 , выращенных методом газовой реакции. Обнаружено, что первая линия экситонной серии является квадрупольной и обладает симметрией Γ_3^+ . Определена симметрия зон в SnO_2 , симметрия переходов $P_{x,y}$ на основные уровни экситонов и симметрия переходов P_z , возгорающих в магнитном поле.

Край поглощения монокристаллов двуокиси олова SnO_2 (симметрия D_{4h}^{14}) для света, поляризованного перпендикулярно оси 4-го порядка c , находится при низких температурах около 3.6 эв. К этому краю сходится серия линий экситонного поглощения, которая точно следует водородоподобной зависимости [1]. В том случае, когда электрический вектор света ξ параллелен c , край поглощения расположен около 3.8 эв, и никакая тонкая структура на нем не наблюдается.

Подобный спектр уже наблюдался [2] на краю поглощения монокристаллов Cu_2O , сжатых вдоль оси 4-го порядка: при постепенном увеличении напряжения сжатия P линии «желтой» экситонной серии исчезают в поляризации с $\xi \parallel P$, т. е. серия поляризуется в плоскости, перпендикулярной сохранившейся оси 4-го порядка.

В настоящей работе исследован спектр поглощения монокристаллов SnO_2 , выращенных нами с помощью газовой реакции $\text{SnCl}_4 + 2\text{H}_2\text{O} \rightleftharpoons \text{SnO}_2 + 4\text{HCl}$ по методике, близкой к описанной в [3]. Способы приготовления монокристаллов SnO_2 , основанные на медленном окислении олова [4] и газотранспортной реакции [5], не дали хороших результатов. В кристаллах, полученных этими методами, вместо узких экситонных линий наблюдается размытый край с небольшим коэффициентом поглощения. По-видимому, это обстоятельство привело авторов работ [5, 6] к ошибочному выводу о том, что SnO_2 относится к числу кристаллов с непрямым краем поглощения.

Наше внимание было обращено на изучение при 4.2°K слабой длинноволновой линии поглощения с энергией 3.562 эв, которую следует считать членом экситонной серии с $n=1$ ($1S$ -состояние экситона). В [1] отмечено, что, согласно теории Эллиotta [7], уровень с $n=1$ оптически неактивен для прямых «запрещенных» экситонных переходов, к числу которых относится серия в SnO_2 . Действительно, если симметрия электронных волновых функций такова, что межзонные переходы запрещены, переход из валентной зоны в $1S$ -состояние экситона тоже запрещен, но лишь в дипольном приближении, т. е. он может проявляться в спектре в виде слабого поглощения более высокой мультипольности.

В группе D_{4h} квадрупольные состояния преобразуются по трем одномерным неприводимым представлениям Γ_1^+ , Γ_3^+ , Γ_4^+ и одному двумерному Γ_5^+ . Экспериментальное исследование анизотропии поглощения линии $n=1$ позволяет определить, соответствует ли симметрия $1S$ -состояния экситона одному из вышеперечисленных представлений.

¹ В этом случае симметрия Cu_2O понижается от O_h до D_{4h} .

На рис. 1, а указаны основные кристаллографические направления, вдоль которых изучалось экситонное поглощение монокристаллов SnO_2 . При наблюдении вдоль оси 4-го порядка ($k \parallel c$) линия $n=1$ в спектре отсутствует. Если направление наблюдения k лежит в базисной плоскости ($k \perp c$), интенсивность линии максимальна при k , параллельном оси 2-го порядка b , и равна нулю при k , параллельном оси 2-го порядка a (рис. 1, б). Таким образом, вид спектра поглощения зависит от направления k в плоскости, перпендикулярной оси c , что может рассматриваться как проявление пространственной дисперсии. Экспериментально определенные угловые зависимости интенсивности поглощения для линии $n=1$ (рис. 1) точно соответствуют неприводимому представлению $\Gamma_3^+ [8]$ и могут быть записаны в виде²

$$W^s = A \sin^2 2\varphi \sin^2 \Theta,$$

$$W^p = \frac{A}{4} \cos^2 2\varphi \sin^2 2\theta,$$

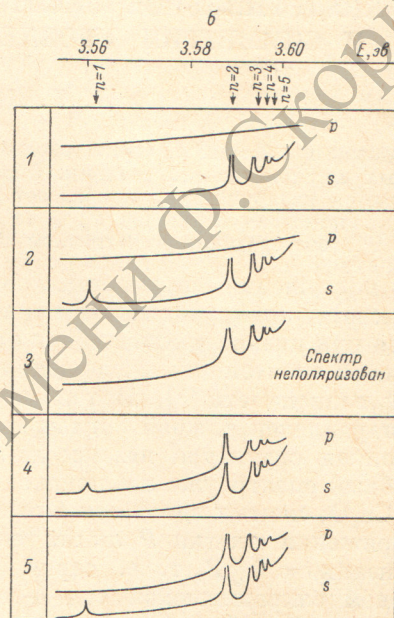
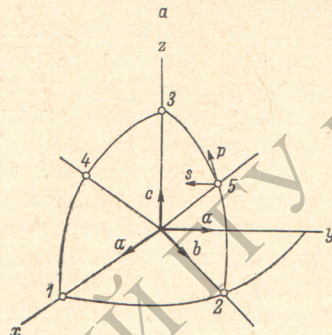


Рис. 1.

а — точки, отмеченные цифрами, указывают направление наблюдения относительно кристаллографических осей. с — ось 4-го порядка, а — оси 2-го порядка, b — оси 2-го порядка; *p*- и *s*-поляризации соответствуют электрическому вектору света, параллельному или перпендикулярному плоскости, содержащей ось с и направление наблюдения. б — поляризованные спектры экситонного поглощения SnO_2 при 4.2°K для различных направлений наблюдения.

где A определяет силу осциллятора перехода. Обозначения *s*- и *p*-состояний поляризации и углов понятны из рис. 1, а и 2.

Таким образом, как и в зоне меди [9], поглощение света в SnO_2 при переходе в $1S$ -состояние экситона имеет квадрупольное происхождение, и можно считать экспериментально установленным, что первые члены экситонных серий, связанных с зонами одной четности, обладают особыми свойствами.

При образовании SnO_2 опускается $5S$ -оболочка олова, и полностью застраивается $2P$ -оболочка кислорода, из которых образуются зона проводимости и валентная зона [10]. В элементарной ячейке кристаллической решетки SnO_2 , содержащей два атома олова и четыре атома кислорода, атомы обоих элементов находятся в неэквивалентных положениях, вследствие чего структура энергетических зон получается сложной. В кристаллическом поле валентные зоны расщепляются на состояния с симметрией $\Gamma_1^+, \Gamma_2^+, \Gamma_3^+, \Gamma_4^+, 2\Gamma_5^+, \Gamma_2^-, \Gamma_3^-, \Gamma_4^-$ и $2\Gamma_5^-$. Зона проводимости расщепляется

² Для выбора между представлениями Γ_3^+ и Γ_4^+ следует иметь в виду, что в случае $|a|=|c|$ оси a , являющиеся ребрами элементарной ячейки кристалла, превращаются в оси 4-го порядка, тогда как b остаются осями 2-го порядка.

на Γ_1^+ и Γ_4^+ , и можно предположить, что нижнему состоянию зоны проводимости соответствует полносимметричное представление Γ_1^+ .

Неприводимое представление, описывающее симметрию перехода в экситонное состояние, должно содержаться в прямом произведении $\Gamma_v \times \Gamma_c \times \Gamma_{eh}$, где Γ_v и Γ_c — неприводимые представления, по которым преобразуются электронные волновые функции валентной зоны и зоны проводимости, а Γ_{eh} описывает симметрию относительного движения электрона и дырки. Для S -состояний $\Gamma_{eh} = \Gamma_1^+$, и если $\Gamma_c = \Gamma_1^+$, то $\Gamma_v = \Gamma_3^+$ (второй возможный вариант: $\Gamma_c = \Gamma_4^+$, $\Gamma_v = \Gamma_2^+$). Основные члены экситонной серии с $n \geq 2$ являются дипольными переходами типа $P_{x,y}$ с $\Gamma_{eh} = \Gamma_5^-$ и имеют симметрию Γ_5^- : $\Gamma_1^+ \times \Gamma_3^+ \times \Gamma_5^- = \Gamma_5^-$; $\Gamma_2^+ \times \Gamma_4^+ \times \Gamma_5^- = \Gamma_5^-$. Аналогичным способом определяется симметрия Γ_4^- для переходов P_z , возгороающих в магнитном поле ($\Gamma_{eh} = \Gamma_2^-$). Таким образом, установление симметрии Γ_3^+ для

Зона
проводимости I II
 $\Gamma_1^+ \quad \Gamma_4^+$

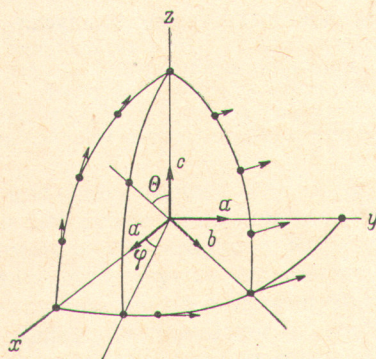


Рис. 2. Экспериментально определенная анизотропия поглощения линии 3.562 эв ($n=1$). Тип симметрии Γ_3^+ .

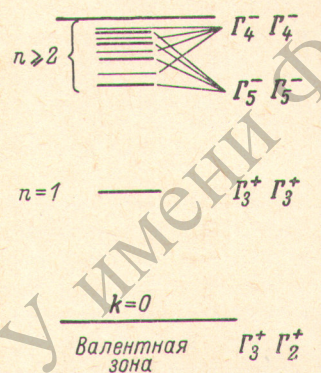


Рис. 3. Симметрия энергетических зон и экситонных переходов в SnO_2 в центре зоны Бриллюэна.

I и II соответствуют двум возможным типам симметрии зоны проводимости.

$1S$ -состояния экситона позволяет определить симметрию энергетических зон и экситонных переходов в SnO_2 (рис. 3).

Известно, что для уровней с $n=1$ характерно отклонение от водородоподобной зависимости, связанное с малым радиусом нижнего экситонного состояния. В закиси меди линия $n=1$ сдвинута в длинноволновую сторону на 0.04 эв относительно значения энергии, вычисленного по водородоподобной формуле. Этот сдвиг гораздо слабее в SnO_2 — 0.002 эв, что можно объяснить двумя причинами. Во-первых, радиусы экситонов в SnO_2 , определенные с помощью статической диэлектрической проницаемости из [11], вдвое больше, чем в Cu_2O , так что радиус экситона с $n=1$ близок к минимальному размеру экситона, энергия которого уже удовлетворяет водородоподобной формуле [12]. Во-вторых, в анизотропных кристаллах положение экситонных уровней зависит от величины параметра анизотропии $A = \mu_\perp \epsilon_\perp / \mu_\parallel \epsilon_\parallel$ (μ_\perp , μ_\parallel и ϵ_\perp , ϵ_\parallel — поперечные и продольные значения эффективной массы экситона и статической диэлектрической проницаемости). Вычисления, проведенные в [13], показывают, что состояния $P_{x,y}$ малочувствительны к величине A , тогда как $1S$ -состояние при $A=1.5$ сдвинуто более чем на 0.03 эв в сторону высоких энергий по сравнению с изотропным кристаллом, каким является Cu_2O (величина $A=1.5$ для SnO_2 определена нами из [13] по известным энергетическим расстояниям между экситонными уровнями $P_{x,y}$ и P_z).

Литература

- [1] M. Nagasawa, S. Shionoya. Phys. Lett., 409, 1966.
- [2] Е. Ф. Гросс, Д. А. Каплянский, В. Т. Агекян, Д. С. Булянца. ФТТ, 4, 1660, 1962.
- [3] M. Nagasawa, S. Shionoya, S. Makishimo. Japan. J. Appl. Phys., 4, 195, 1965.
- [4] T. B. Reed, J. T. Roddy, A. N. Mariano. J. Appl. Phys., 33, 1014, 1962.
- [5] I. A. Marley, T. C. MacAvoy. J. Appl. Phys., 32, 2504, 1961.
- [6] R. Summit, I. A. Marley, N. F. Borelli. J. Phys. Chem. Solids, 25, 1465, 1964.
- [7] R. I. Elliott. Phys. Rev., 108, 1384, 1957.
- [8] В. И. Чепанов. ФТТ, 3, 1493, 2604, 1961.
- [9] Е. Ф. Гросс, А. А. Каплянский. ДАН СССР, 132, 93, 1960; 139, 75, 1961.
- [10] M. Nagasawa, S. Shionoya. Phys. Rev. Lett., 21, 1070, 1968.
- [11] H. J. Van Daal. J. Appl. Phys., 39, 4467, 1968.
- [12] H. Haken. Fortschr. Phys., 6, 271, 1958.
- [13] J.-A. Déverin. Helv. Phys. Acta, 42, 397, 1969.

Поступило в Редакцию 9 апреля 1970 г.